

НЕЛИНЕЙНЫЙ ТОКОПЕРЕНОС В ПОЛУПРОВОДНИКОВЫХ СУБМИКРОННЫХ ОБРАЗЦАХ С ОБЕДНЕННЫМИ ПОВЕРХНОСТНЫМИ СЛОЯМИ

Гуревич Ю. Г., Логвинов Г. Н.

В предположении доминирующего электрон-электронного рассеяния предложен новый поверхностный канал релаксации энергии в полупроводниковых субмикронных образцах со слоями обеднения у поверхности в грейщих электрических полях. Он представляет собой перекачку энергии через хвост электронной функции распределения Максвелла, где поверхностный потенциал пренебрежимо мал, а скорость поверхностной релаксации энергии максимальна. Получены условия, при которых данный канал эффективен, рассчитаны ВАХ.

В ряде экспериментальных [1-3] и теоретических [4-7] работ показано, что в полупроводниковых образцах конечных размеров эффективным каналом релаксации энергии, полученной от внешнего поля E_0 , может являться поверхность, контактирующая с внешним термостатом с температурой T . В случае пластин с обедненным слоем в [4] была рассмотрена следующая схема этого процесса: большинство носителей с энергией $\epsilon < e\phi_s$ (e — заряд электрона, ϕ_s — поверхностный потенциал) из-за наличия потенциального барьера не могут подойти к поверхности, в силу чего для них скорость поверхностной релаксации s близка к нулю. Небольшая же часть носителей, пропорциональная $\exp(-e\phi_s/T)$, легко преодолевает барьер и может эффективно релаксировать на реальной поверхности (рис. 1). В работах [6, 8] авторами предложен вид скорости поверхностной релаксации энергии $-s \sim \exp\left(-\left|\frac{e\phi_s}{T_s}\right|\right)$ (T_s^\pm — температура электронов на поверхности пластин $z = \pm d/2$) и показано, что при разогреве она может превысить скорость релаксации энергии в объеме. При специальном же выборе механизмов рассеяния импульса и энергии в объеме это имеет место даже в сравнительно небольших полях.

В настоящей работе показано, что в тонких субмикронных слоях со слоями обеднения у поверхности поверхностная релаксация может быть доминирующей при самых общих предположениях, не сводящихся ни к частным выборам вида скорости поверхностной релаксации, ни к механизмам рассеяния импульса и энергии в объеме.

Реальный потенциал ϕ_s приближенно можно описать введением прямоугольного потенциального барьера высотой e_0 (рис. 1) и считать, что электроны с энергией $\epsilon < e_0$ обладают нулевой скоростью поверхностной релаксации энергии, а электроны с $\epsilon \geq e_0$ — конечной скоростью s .

Мы предполагаем для определенности, что в объеме все процессы взаимодействия невырожденных электронов с решеткой квазиупругие, рассеяние импульса и энергии носителей происходит на деформационных акустических фононах (АФ) с соответствующими частотами релаксации импульса и энергии $\nu(\epsilon) = \nu_0(\epsilon/T)^{1/2}$, $\tilde{\nu}(\epsilon) = \tilde{\nu}_0(\epsilon/T)^{1/2}$ [9]. Пусть далее $\tilde{\nu}_s$ — эффективная частота релаксации энергии носителей на границе, $\nu_{ee}(\epsilon)$ — частота межэлектронного взаимодействия. Полупроводниковый образец выберем в виде пластины, имеющей в направлении oz толщину $d \ll \tilde{l}(\epsilon)$ [$\tilde{l}(\epsilon)$ — объемная длина остывания [4]] и бесконечной в плоскости xy (субмикронный слой). Между введенными частотами мы допускаем следующие соотношения:

$$v \gg v_{ee} \gg \tilde{v}, \tilde{v}_e. \quad (1)$$

Это предположение, являющееся условием энергетического контроля в субмикронных слоях [10],¹ позволяет воспользоваться приближением электронной температуры и записать симметричную часть функции распределения (ФР) в виде [9]

$$f_0(u, z) = N \eta^{3/2}(z) \exp[-\eta(z)u], \quad (2)$$

где N — нормировочная постоянная для равновесной ФР Максвелла, $\eta(z) = \frac{T_e(z)}{T}$, $T_e(z)$ — электронная температура, $u = \varepsilon/T$.

Поскольку соотношения между \tilde{v} и \tilde{v}_e могут быть произвольными, мы считаем, что в области энергий с $\varepsilon < \varepsilon_0$ (OI) $\tilde{v} \gg \tilde{v}_e$, т. е. энергия релаксирует в объем.² В области же $\varepsilon \geq \varepsilon_0$ (OII) $\tilde{v}_e \gg \tilde{v}$. Здесь ситуация противоположная:

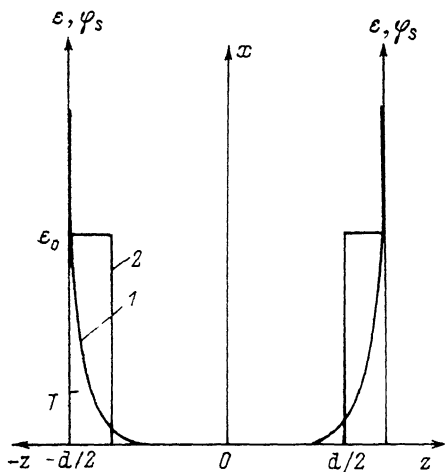


Рис. 1. 1 — реальный потенциал слоя обеднения, 2 — модель приповерхностного потенциала.

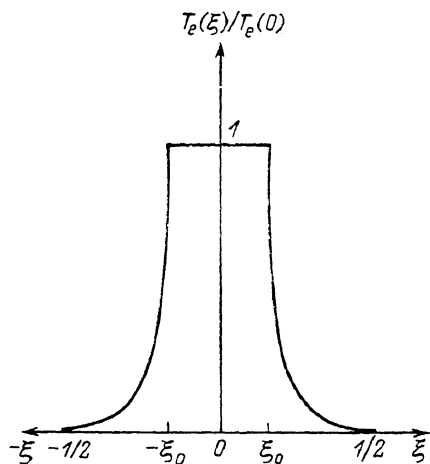


Рис. 2. Электронная температура $\frac{T_e(\xi)}{T_e(0)}$ в сильных полях при $\frac{d_0^2}{d^2} \ll 1$.

носители интенсивней отдадут энергию поверхностям. Если $T_e \geq \varepsilon_0$, то большинство носителей находится в OII и работает поверхностный механизм релаксации. Если $T_e < \varepsilon_0$, то казалось бы, что этот канал релаксации неэффективен. Вместе с тем доминирующая частота межэлектронного взаимодействия способствует перераспределению полученной от поля энергии прежде всего между носителями, из-за чего вполне возможна последующая перекачка этой энергии через хвост ФР Максвелла в OII, где электронов мало, но зато они эффективно взаимодействуют с внешними термостатами. Количественные критерии возможности работы данного механизма релаксации будут указаны далее. Во всяком случае для этого должен выполняться следующий критерий:

$$R = 2Q(\text{II}) \left| \int_{-d/2}^{d/2} dz P(T_e) \right| \gg 1, \quad (3)$$

где $Q(\text{II})$ — поток тепла через границу в OII, $P(T_e)$ — энергия, отдаваемая электронами в единицу времени АФ.

Предполагая, что (3) имеет место, запишем уравнение баланса энергии, которое в данном случае имеет вид

¹ В объемных полупроводниках для реализации энергетического контроля достаточно неравенства $v_{ee} \gg \tilde{v}$ [9].

² Предположение $\tilde{l} \gg d$ не противоречит этому утверждению, так как при зеркальном отражении, много раз отразившись от внутренних поверхностей, носитель эффективно «накопит» длину \tilde{l} и излучит АФ [11].

$$\frac{dQ_z}{dz} = j_x E_0, \quad (4)$$

где Q_z — плотность потока тепла, j_x — плотность электрического тока в направлении оси ox . Вычисляя эти величины стандартным способом, получим для определения электронной температуры следующее нелинейное дифференциальное уравнение:

$$2y \frac{d^2 y}{d\xi^2} + \left(\frac{dy}{d\xi}\right)^2 + \gamma_0^2 = 0. \quad (5)$$

$$\text{Здесь } y = \frac{T_s}{T}, \quad \gamma_0^2 = \left(\frac{eE_0 d}{T}\right)^2, \quad \xi = \frac{z}{d}.$$

Запишем для (5) граничные условия (ГУ). Под взаимодействием с границей мы будем понимать рассеяние электронов на центрах, находящихся в приграничных слоях толщиной $\delta \ll d$. Для определенности полагаем, что и в этом слое взаимодействия квазиупругие. Пусть импульс и энергия электронов в нем рассеиваются с частотами $\nu_b(u) = \nu_b^0 u^q$, $\tilde{\nu}_b(u) = \tilde{\nu}_b^0 u^{r-1}$. Ясно, что в общем случае природа центров рассеяния в объеме и на границе различная. ГУ для симметричной части ФР сводятся к записи уравнения непрерывности в слое δ [4]:

$$\text{div } \mathbf{j}_b(u, \xi) = g(u) S_b[f_0(u, \xi)], \quad (6)$$

где $g(u) = g_0 u^{1/2}$ — плотность электронных состояний в зоне, $\mathbf{j}_b(u, \xi)$, $S_b[f_0(u, \xi)]$ — соответственно парциальный ток в направлении oz и интеграл столкновений носителей в слое δ [9], имеющие следующий вид:

$$g(u, \xi) = -\frac{2Tg_0}{3m\nu_b^0 d} u^{3/2-q} \left(\frac{\partial f_0}{\partial \xi} + \frac{\partial f_0}{\partial u} \gamma_1\right), \quad S_b(f_0) = u^{-1/2} \frac{\partial}{\partial u} \left[u^{3/2} (\tilde{\nu}_b^0 u^{r-1}) \left(f_0 + \frac{\partial f_0}{\partial u}\right) \right], \quad (7)$$

где $\gamma_1 = \frac{eE_1 d}{T}$; E_1 — поперечное поле (в направлении oz), появляющееся из-за неоднородности. Его можно определить из условия равенства нулю поперечной плотности тока.

Пренебрегая джоулевым разогревом в слое δ и устремляя δ к нулю, получим следующие ГУ:

$$u^{3/2-q} \left(\frac{\partial f_0}{\partial \xi} + \gamma_1 \frac{\partial f_0}{\partial u}\right) \Big|_{\xi=\pm 1/2} = \pm \beta_0 \frac{\partial}{\partial u} \left[u^{r+1/2} \left(f_0 + \frac{\partial f_0}{\partial u}\right) \right] \Big|_{\xi=\pm 1/2}, \quad (8)$$

где

$$\beta_0 = {}^{9/2} d^2 / \tilde{d}_0^2, \quad \tilde{d}_0 = \bar{v} / \sqrt{\nu_b^0 s_0 / d}, \quad \bar{v} = \sqrt{3T/m}, \quad (9)$$

$s_0 = \lim_{\delta \rightarrow 0} (\delta \tilde{\nu}_b^0)$ и имеет смысл скорости поверхностной релаксации в слабых электрических полях (в нашей теории феноменологический параметр). Величина $\tilde{\nu}_b^0 = s_0 / d$ описывает релаксационные процессы на границе и представляет введенную ранее поверхностную частоту релаксации энергии, \tilde{d}_0 по аналогии с l_0 может быть названа поверхностной длиной остывания.

Умножая (8) на u и интегрируя от u_0 до ∞ ($u_0 = \varepsilon_0 / T$), получим интегральные ГУ задачи, сводящиеся к потоку тепла через стенку в ОИ. В ОИ этот поток на границе равен нулю. В результате получаем

$$\frac{dy}{d\xi} \Big|_{\xi=\pm 1/2} = \mp \beta(y) (y-1) \Big|_{\xi=\pm 1/2}, \quad (10)$$

где

$$\beta(y) = \frac{3\Gamma(r+3/2, \eta u_0)}{(\eta/2 - q) \Gamma(\eta/2 - q, \eta u_0)} \frac{d^2}{\tilde{d}_0^2(y)};$$

$$\tilde{d}^2(y) = \frac{v^2(y)}{\nu_b(y) \tilde{\nu}_b(y)}; \quad \nu_b(y) = \nu_b^0 y^q; \quad \tilde{\nu}_b(y) = \tilde{\nu}_b^0 y^{r-1}; \quad v^2(y) = \bar{v}^2 y,$$

$\Gamma(\alpha, \beta)$ — неполные γ -функции.

В общем случае ГУ носят, как это видно из (10), нелинейный характер. Они линеаризуются в слабых полях при произвольных граничных механизмах рассеяния и в произвольных полях при рассеянии импульса и энергии на поверхностных АФ. В этом случае $q=1/2$, $r=3/2$ и ГУ принимают простейший вид

$$\frac{dy}{d\xi} \Big|_{\xi=\pm 1/2} = \mp \beta_0 (y-1) \Big|_{\xi=\pm 1/2}. \quad (11)$$

Поскольку в рассматриваемой задаче интерес для нас представляет структура ГУ, а не конкретные типы рассеивающих центров, мы выберем ГУ в виде (11) (заметим, что при этом выпал параметр u_0).

Для решения (5) введем новую функцию $\psi = \left(\frac{dy}{d\xi}\right)^2$. Тогда уравнение относительно ψ становится линейным:

$$y \frac{d\psi}{dy} + \psi + \gamma_0^2 = 0. \quad (12)$$

Решая (12) и учитывая симметрию ГУ задачи, приводящих к максимуму T_e в центре образца, приходим к следующему трансцендентному уравнению:

$$\sqrt{t(\xi)[1-t(\xi)]} + \arcsin \sqrt{1-t(\xi)} = \frac{\gamma_0}{y_m} \xi, \quad (13)$$

где $t(\xi) = \frac{y(\xi)}{y_m}$, $y_m = \frac{T_e(0)}{T}$ — максимальная безразмерная электронная температура, подлежащая определению из ГУ.

Подставляя (2) в выражение, определяющее критерий (3), нетрудно получить, что в общем случае он определяется следующим выражением:

$$R = \frac{\bar{l}_0^2}{d_0^2} [\Gamma(4, u_{0e}) - 2\Gamma(3, u_{0e})] T_{ob}^{3/2} \Big|_{-1/2}^{1/2} d\xi T_e^{3/2}(\xi) \gg 1. \quad (14)$$

Здесь $T_{ob} = T_e \left(\frac{1}{2}\right)$ — электронная температура на границе образца, $u_{0e} = \frac{\varepsilon_0}{T_{ob}}$.

При фиксированной высоте барьера u_0 u_{0e} может принимать различные значения в зависимости от степени разогрева газа на поверхности. В предельных случаях величина u_{0e} может быть как значительно больше, так и значительно меньше единицы, причем это справедливо для произвольных по величине полей. При большой скорости поверхностной релаксации в сильных, не говоря уже о слабых полях, T_e на поверхности может незначительно отличаться от T и $u_{0e} \gg 1$; при небольших же величинах s (помня, однако, что она превышает объемную скорость релаксации) $T_{ob} \simeq T_e(0)$ и возможны ситуации как $u_{0e} \gg 1$, так и $u_{0e} \ll 1$. Первый случай реализуется при $T \ll T_e \ll \varepsilon_0$.

Таким образом, предельные значения R следующие:

$$a) R = \frac{\bar{l}_0^2}{d_0^2} u_{0e} e^{-u_{0e}} \Big|_{-1/2}^{1/2} d\xi \left[\frac{T_e(\xi)}{T_{ob}} \right]^{3/2} \gg 1 \quad (u_{0e} \gg 1), \quad (15)$$

$$b) R = \frac{\bar{l}_0^2}{d_0^2} \Big|_{-1/2}^{1/2} d\xi \left[\frac{T_e(\xi)}{T_{ob}} \right]^{3/2} \gg 1 \quad (u_{0e} \ll 1). \quad (16)$$

Выражение (13) [с учетом (11) и (14)] полностью определяет решение поставленной задачи.

Рассмотрим два частных случая слабой и сильной зависимостей T_e от координат. В первом естественно предположить справедливость неравенства

$$\frac{y_m - y(\xi)}{y_m} = 1 - t(\xi) \ll 1.$$

Это сразу позволяет определить $y(\xi)$ из (13):

$$y(\xi) = y_m \left[1 - \left(\frac{\gamma_0}{2y_m} \right)^2 \xi^2 \right]. \quad (17)$$

Из ГУ получаем

$$y_m = \frac{1}{2} \left(1 + \sqrt{1 + \frac{1}{4} D^2 \gamma_0^2} \right), \quad (18)$$

где

$$D^2 = 1 + \frac{d_0^2}{d^2}. \quad (19)$$

Рассматриваемое приближение может иметь место в том случае, когда

$$\alpha^2 = \frac{\gamma_0^2}{16y_m^2} = \frac{\gamma_0^2}{4 \left(1 + \sqrt{1 + \frac{1}{4} D^2 \gamma_0^2} \right)} \ll 1. \quad (20)$$

Для слабых полей ($\gamma_0 \ll 1$) это неравенство всегда имеет место. В сильных полях ($\gamma_0 \gg 1$) $\alpha^2 \simeq D^{-2}$. Данное приближение, таким образом, справедливо, если $d_0/d \gg 1$, т. е. при существенном превышении поверхностной длины остывания толщины образца. Это утверждение правильное и для промежуточных полей. Учитывая это обстоятельство,

$$y_m = \frac{1}{4} \frac{d_0}{d} \gamma_0 = \frac{1}{4} \tilde{\gamma}_0, \quad (21)$$

где

$$\tilde{\gamma}_0 = \frac{eE_0 d_0}{T}. \quad (22)$$

$$T_*(\xi) = \frac{1}{4} T \tilde{\gamma}_0 \left[1 - \left(2 \frac{d}{d_0} \right)^2 \xi^2 \right]. \quad (23)$$

В слабых же полях ($\tilde{\gamma}_0 \ll 1$)

$$T_*(\xi) = T \left[1 + \frac{1}{16} \left(1 - 4 \frac{d^2}{d_0^2} \xi^2 \right) \tilde{\gamma}_0^2 \right]. \quad (24)$$

Пренебрегая в (23), (24) координатной зависимостью и подставляя эти выражения в (15), (16), получаем величину R , которая совместно с другими соотношениями между характерными длинами задачи определяет систему неравенств, обеспечивающих работу рассматриваемого канала релаксации:

$$l_0^2/d_0^2 \gg \frac{e^{u_{0e}}}{u_{0e}^3}, \quad d_0^2/d^2 \gg 1, \quad l_0^2/d^2 \gg 1 \quad (u_{0e} \gg 1) \quad (25)$$

или

$$l_0^2/d_0^2 \gg 1, \quad d_0^2/d^2 \gg 1, \quad l_0^2/d^2 \gg 1 \quad (u_{0e} \ll 1). \quad (26)$$

Все полученные соотношения не являются взаимоисключающими. Естественно, что при $u_{0e} \gg 1$ требуется значительное превышение объемной длины релаксации энергии над поверхностной. Отметим, что все неравенства одновременно усиливаются при уменьшении толщины образца d . Нельзя, однако, забывать, что это уменьшение одновременно увеличивает и частоту $\tilde{\nu}_*$, что в свою очередь ослабляет энергетический контроль ($\nu_{ee} \gg \tilde{\nu}_*$).

Остановимся вкратце на втором предельном случае: сильном отличии T_* в центре и на боковых поверхностях образца. Разумеется, что данная ситуация может иметь место исключительно в сильных электрических полях с большой скоростью поверхностной релаксации энергии, т. е. при $d_0^2/d^2 \ll 1$. Подобно [12, 13] примем, что в некоторой окрестности границы слоя $t(\xi) \ll 1$, в остальной же части $T_*(\xi) \simeq T_{*m}$ (рис. 2). Для приграничной области, где $t(\xi) \ll 1$, из (13) и ГУ (11) получаем

$$T_e(\xi) = \begin{cases} \frac{\gamma_0}{\pi} T & |\xi| \leq \xi_0 = \frac{1}{6}, \\ T\pi \left(\frac{1}{2} - \xi\right)^2 \gamma_0 \frac{1}{6} < |\xi| \leq \frac{1}{2}. \end{cases} \quad (27)$$

Так как в области резкого изменения электронной температуры $T_e(\xi) \ll T_m$, то основной вклад в R будет вносить интервал $|\xi| \leq \xi_0$, где в нашей модели $T_e(\xi) = T_{em} = \text{const}$.

Привлекая (15), (16), получаем

$$l_0^2/d_0^2 \gg \frac{e^{u_{0e}}}{u_{0e}^2} \gamma_0^{3/2}, \quad d_0^2/d^2 \ll 1, \quad l_0^2/d^2 \gg 1 \quad (u_{0e} \gg 1), \quad (28)$$

$$l_0^2/d_0^2 \gg \gamma_0^{3/2}, \quad d_0^2/d^2 \ll 1, \quad l_0^2/d^2 \gg 1 \quad (u_{0e} \ll 1). \quad (29)$$

В отличие от (25), (26) соотношение между длинами помимо относительной высоты барьера зависит также от поля. Утоньшение образца не приводит к усилению эффекта. В данном случае эффективность поверхностного канала релаксации повышается с увеличением скорости поверхностной релаксации. Заметим, что в отличие от предыдущей ситуации работа поля выполняется на длине d .

Используя полученные результаты для вычисления ВАХ, нетрудно получить, что в приближении $\beta_0 \ll 1$ для слабых полей

$$j_x \sim \left[1 + \frac{1}{2} \left(\frac{eE_0 d}{T} \right)^2 \right] E_0. \quad (30)$$

В промежуточных и сильных полях

$$j_x \sim \sqrt{d_0} E_0^{3/2}. \quad (31)$$

В противоположном случае ($\beta_0 \gg 1$)

$$j_x \sim \sqrt{d} E_0^{3/2}. \quad (32)$$

Таким образом, ВАХ присущ ярко выраженный размерный эффект. В первом случае он определяется длиной остывания d_0 . Плотность тока уменьшается с увеличением скорости поверхностной релаксации и уменьшением толщины образца. Во втором — плотность тока параметрически зависит лишь от толщины d .

Список литературы

- [1] Климовская А. И., Кириллова С. И., Снитко О. В. // ФТП. 1974. Т. 8. В. 4. С. 702—710.
- [2] Зотьев Б. П., Кравченко А. Ф., Скок Э. М. // ФТП. 1972. Т. 6. В. 7. С. 1377—1379.
- [3] Вильмс П. П., Сардарян В. С., Добровольский П. П., Копылова С. В. // Письма ЖЭТФ. 1969. Т. 10. В. 8. С. 377—380.
- [4] Рапба Э. И., Грибников З. С., Кравченко В. Я. // УФН. 1976. Т. 119. В. 1. С. 3—47.
- [5] Басс Ф. Г., Бочков В. С., Гуревич Ю. Г. Электроны и фононы в ограниченных полупроводниках. М., 1984. 288 с.
- [6] Прима Н. А., Саченко А. В. // ФТП. 1981. Т. 15. В. 8. С. 1632—1634.
- [7] Прима Н. А., Саченко А. В. // ФТП. 1988. Т. 22. В. 3. С. 522—524.
- [8] Саченко А. В. // ФТП. 1977. Т. 11. В. 3. С. 456—460.
- [9] Басс Ф. Г., Гуревич Ю. Г. Горячие электроны и сильные электромагнитные волны в плазме полупроводников и газового разряда. М., 1975. 399 с.
- [10] Гуревич Ю. Г., Логвинов Г. Н. // ФТП. 1990. Т. 24. В. 10. С. 1715—1720.
- [11] Логвинов Г. М. // УФЖ. 1990. Т. 35. В. 10. С. 1568—1572.
- [12] Басс Ф. Г., Бочков В. С., Гуревич Ю. Г. // ФТТ. 1967. Т. 9. В. 12. С. 3479—3492.
- [13] Грибников З. С., Мельников В. И., Сорокина Т. С. // ФТТ. 1966. Т. 8. В. 11. С. 3379—3382.

Тернопольский государственный педагогический институт
им. Я. О. Галана

Получена 11.11.1990
Принята к печати 28.12.1990